Figure S18

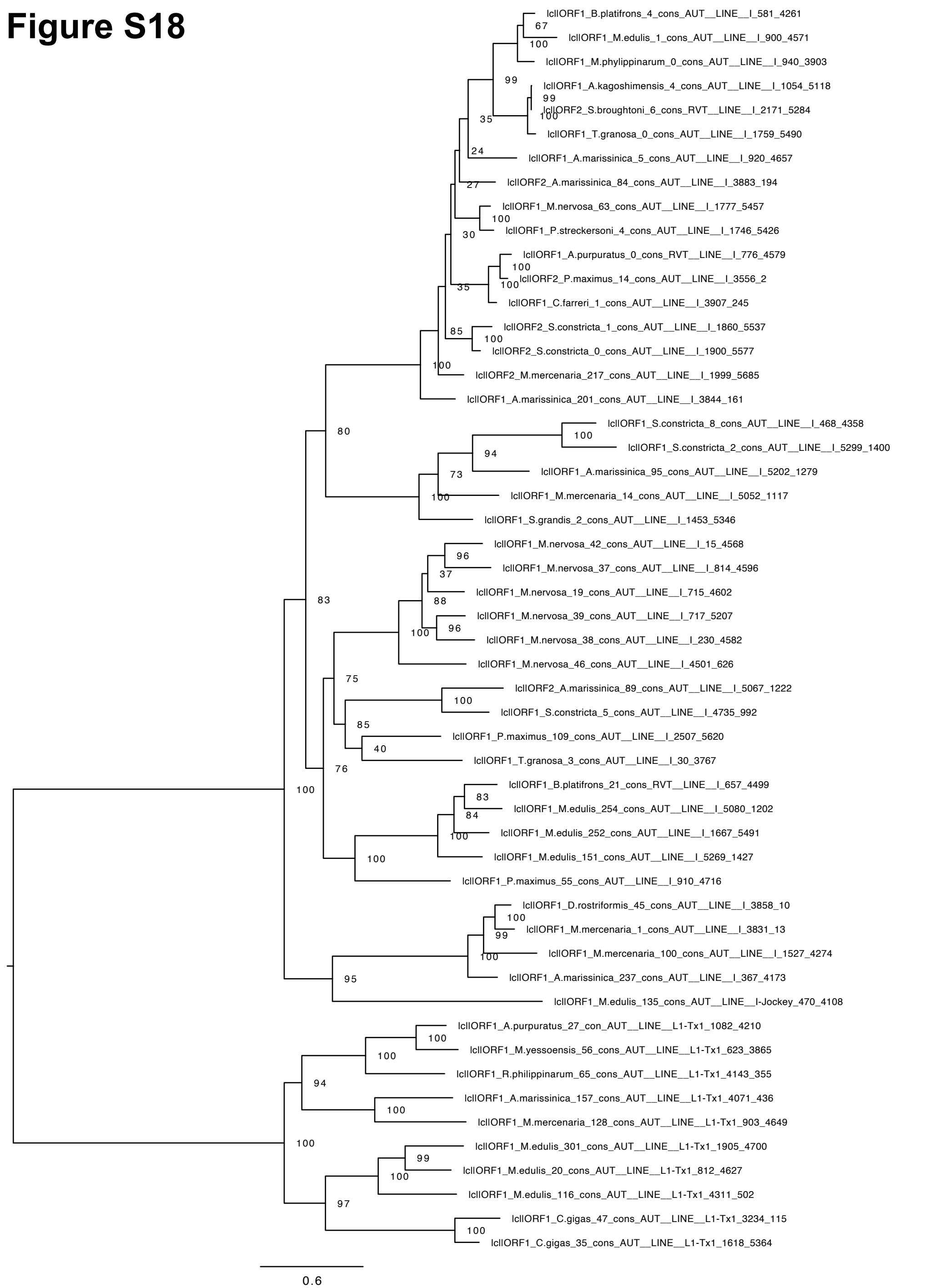
lclIORF1_B.platifrons_4_cons_AUT__LINE__I_581_4261
lclIORF1_M.edulis_1_cons_AUT__LINE__I_900_4571
lclIORF1_M.phylippinarum_0_cons_AUT__LINE__I_940_3903
lclIORF1_A.kagoshimensis_4_cons_AUT__LINE__I_1054_5118
lclIORF2_S.broughtoni_6_cons_RVT__LINE__I_2171_5284
lclIORF1_T.granosa_0_cons_AUT__LINE__I_1759_5490
lclIORF1_A.marissinica_5_cons_AUT__LINE__I_920_4657
lclIORF2_A.marissinica_84_cons_AUT__LINE__I_3883_194
lclIORF1_M.nervosa_63_cons_AUT__LINE__I_1777_5457
lclIORF1_P.streckersoni_4_cons_AUT__LINE__I_1746_5426
lclIORF1_A.purpuratus_0_cons_RVT__LINE__I_776_4579
lclIORF2_P.maximus_14_cons_AUT__LINE__I_3556_2
lclIORF1_C.farreri_1_cons_AUT__LINE__I_3907_245
lclIORF2_S.constricta_1_cons_AUT__LINE__I_1860_5537
lclIORF2_S.constricta_0_cons_AUT__LINE__I_1900_5577
lclIORF2_M.mercenaria_217_cons_AUT__LINE__I_1999_5685
lclIORF1_A.marissinica_201_cons_AUT__LINE__I_3844_161
lclIORF1_S.constricta_8_cons_AUT__LINE__I_468_4358
lclIORF1_S.constricta_2_cons_AUT__LINE__I_5299_1400
lclIORF1_A.marissinica_95_cons_AUT__LINE__I_5202_1279
lclIORF1_M.mercenaria_14_cons_AUT__LINE__I_5052_1117
lclIORF1_S.grandis_2_cons_AUT__LINE__I_1453_5346
lclIORF1_M.nervosa_42_cons_AUT__LINE__I_15_4568
lclIORF1_M.nervosa_37_cons_AUT__LINE__I_814_4596
lclIORF1_M.nervosa_19_cons_AUT__LINE__I_715_4602
lclIORF1_M.nervosa_39_cons_AUT__LINE__I_717_5207
lclIORF1_M.nervosa_38_cons_AUT__LINE__I_230_4582
lclIORF1_M.nervosa_46_cons_AUT__LINE__I_4501_626
lclIORF2_A.marissinica_89_cons_AUT__LINE__I_5067_1222
lclIORF1_S.constricta_5_cons_AUT__LINE__I_4735_992
lclIORF1_P.maximus_109_cons_AUT__LINE__I_2507_5620
lclIORF1_T.granosa_3_cons_AUT__LINE__I_30_3767
lclIORF1_B.platifrons_21_cons_RVT__LINE__I_657_4499
lclIORF1_M.edulis_254_cons_AUT__LINE__I_5080_1202
lclIORF1_M.edulis_252_cons_AUT__LINE__I_1667_5491
lclIORF1_M.edulis_151_cons_AUT__LINE__I_5269_1427
lclIORF1_P.maximus_55_cons_AUT__LINE__I_910_4716
lclIORF1_D.rostriformis_45_cons_AUT__LINE__I_3858_10
lclIORF1_M.mercenaria_1_cons_AUT__LINE__I_3831_13
lclIORF1_M.mercenaria_100_cons_AUT__LINE__I_1527_4274
lclIORF1_A.marissinica_237_cons_AUT__LINE__I_367_4173
lclIORF1_M.edulis_135_cons_AUT__LINE__I-Jockey_470_4108
lclIORF1_A.purpuratus_27_con_AUT__LINE__L1-Tx1_1082_4210
lclIORF1_M.yessoensis_56_cons_AUT__LINE__L1-Tx1_623_3865
lclIORF1_R.philippinarum_65_cons_AUT__LINE__L1-Tx1_4143_355
lclIORF1_A.marissinica_157_cons_AUT__LINE__L1-Tx1_4071_436
lclIORF1_M.mercenaria_128_cons_AUT__LINE__L1-Tx1_903_4649
lclIORF1_M.edulis_301_cons_AUT__LINE__L1-Tx1_1905_4700
lclIORF1_M.edulis_20_cons_AUT__LINE__L1-Tx1_812_4627
lclIORF1_M.edulis_116_cons_AUT__LINE__L1-Tx1_4311_502
lclIORF1_C.gigas_47_cons_AUT__LINE__L1-Tx1_3234_115
lclIORF1_C.gigas_35_cons_AUT__LINE__L1-Tx1_1618_5364
0.6